

九州大学工学部 正員 植東一郎
 " " 洪村史
 大学院 学生員 古本勝弘

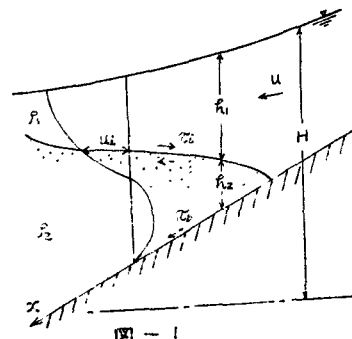
まえがき 壁水楔の境界面における抵抗係数は、楔の長さがそれにはほど逆比例するため、壇分侵入限界の計算に支配的な役割をもつてゐる。従つてかなり多くの実験的、解析的研究が行なわれて水理条件に基づく体系化が試みられてゐるが現在なお発展の点が少くない。例えば椎貝は境界面抵抗は内部波の発生による造波抵抗が支配的であるとして半理論的実験式を提案し、最近 Keulegan は Estuary and Costline Hydrodynamics の 1 章 The mechanics of arrested saline wedge に於て特に下層の運動に注目して解析した結果、層流状態の境界面摩擦抵抗と下層塩水の逆流による乱流状態の底面摩擦が支配的であるとして Reynolds 数が大きくなると後者の影響が卓越すると述べているなど抵抗係数に関する解説はかなり混乱した状態にある。このことは抵抗係数に關係する物理的要因が多様であり、その一面を補捉、強調されていることに起因すると考えられるので、我々の実施した壁水楔実験について、諸抵抗をその要因によつて分離することを試みた。また大野川の壇分侵入は緩混合型であるが、引き潮時にはかなり明瞭な壁水楔状を呈するので、その資料について若干の考察を加え、室内実験では cover 出来ない高 Reynolds 数の領域をうめることにする。

[1] 基礎式

図-1 のように幅 B の水路に深さ h_2 の塩水が侵入しているときの流れの基礎式は、慣用されている記号を用いて

$$\text{上層 } \frac{\rho}{\rho g} \frac{dU^2}{dx} = - \frac{dH}{dx} - 2 \frac{C_w}{\rho g B} - \frac{C_b}{\rho g h_2}, \quad (1)$$

$$\text{下層 } \frac{\rho}{h_2} \frac{d}{dx} \left(\frac{u^2 h_2}{g} \right) = - \frac{dH}{dx} + \epsilon \frac{du}{dx} + \frac{C_w}{\rho g h_2} + \frac{C_b}{\rho g h_2} \quad (2)$$



である。ここに C_w , C_b , ϵ はそれぞれ境界面、底面、及び側壁の摩擦抵抗、 u は境界面における流速、 $-dH/dx$ は水面勾配、 $\epsilon = \Delta p/\rho$ である。塩水楔の実験から C_w 及び C_b を求めるためには、Keulegan が試みているように、 C_w を適当に推定し、(1) 式より C_b 、(2) 式より ϵ を逆算すればよいが水面勾配 $-dH/dx$ がきわめて小さく (10^{-4} ~ 10^{-5}) 精度のよい算定は望めない。従つて以下では C_w 及び C_b を

$$\epsilon/p = f_w U_s^2 \quad \epsilon/b = f_b U_s^2$$

で定義し dH/dx を消去した次式¹

$$(1 + \frac{f_w}{f_b}) \frac{\epsilon_w/p}{U_s^2} + \frac{\epsilon_b/p}{U_s^2} = F' \equiv - \frac{\epsilon g h_2}{U_s^2} \left[(1 - dF'_w) \frac{du}{dx} - \frac{p}{h_2} \frac{d}{dx} \left(\frac{u^2 h_2}{g} \right) - X \frac{U_s^2}{\rho g B} \right] \quad (3)$$

を用いることにする。

[2] 層流における境界面及び底面の抵抗。

2層流における流速分布を model 的に示すと図-2のようであつて、上層部の厚さ δ なる境界層、及び下層壁面層の流速分布を簡単に境界条件を満足する次式で仮定する。

$$\frac{u_1}{U} = \lambda + 2(1-\lambda)\gamma_1 - (1-\lambda)\gamma_1^2$$

$$\frac{u_2}{U} = \lambda(1 - 4\gamma_2 + 3\gamma_2^2)$$

ここに $\lambda = u_1/U$ $\gamma_1 = y/\delta$, $\gamma_2 = y/h_2$

なおこの流速分布では速度の zero 点は $\frac{2}{3}h_2$ の位置に、逆流流速の最大値は $\frac{u_{max}}{u_1} = \frac{1}{3}$ 。その位置は $\frac{1}{3}h_2$ の位置にあるが、これらは実験の結果とほど一致している。

この速度分布より層流を仮定して τ_1/ρ を求めると

$$\frac{\tau_1/\rho}{U^2} = 4\left(\frac{\nu}{u_1 h_2}\right) u_1^2 \quad \frac{\tau_2/\rho}{U^2} = 2\left(\frac{\nu}{u_1 h_2}\right) u_1^2$$

となり

$$(1 + \frac{h_2}{\delta}) \frac{\tau_1/\rho}{U^2} + \frac{\tau_2/\rho}{U^2} = F' = (6 + 4\frac{h_2}{\delta})(\frac{u_1 h_2}{\nu})^{-1} \quad ④$$

となる。なお流速の補正係数 λ 、 β の値は、 λ は実用上 1.0 みなされ、 $\beta = \frac{\int u^2 dA}{U^2 A}$ は上の速度分布を用いて $\beta = 0.133$ となる。また最大逆流流速点以下の流れについて層流から乱流に遷移する限界 Reynolds 数を $\frac{(2/3)u_{max}h_2}{\nu} = 580$ とすると、この値に対応する $\frac{u_1 h_2}{\nu} = 7.85 \times 10^3$ となる。従ってこの実験における下層流はすべて層流の範囲にあるものと思われる。

機の形状測定、境界流速山の測定結果、及び側壁の抵抗係数 λ と

Reynolds 数 $\frac{u_1 h_2}{\nu}$ との実験曲線とかう (3) 式の F' を計算して Reynolds 数 $\frac{u_1 h_2}{\nu}$ に対してプロットしたものが

図-3 である。図には $\frac{h_2}{\delta} = 0, 0.5, 1.0$ のときの理論値も記されている。

つぎに境界面の抵抗のみを取り出すために (3) 式における $\frac{\tau_1/\rho}{U^2}$ として理論値を代入して、境界抵抗 $\frac{\tau_1/\rho}{U^2}$ を逆算し、層流としての摩擦底応 $\frac{\tau_1/\rho}{U^2} = 4\left(\frac{u_1 h_2}{\nu}\right)^{-1}$ との比を Keulegan が提案した境界面の不安定 parameter $\alpha (= \frac{u_1 h_2}{\nu} \cdot \frac{U^2}{E g R})$ で整理したもののが

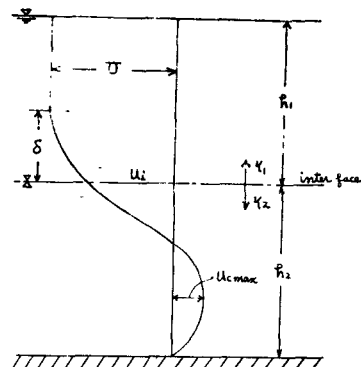


図-2

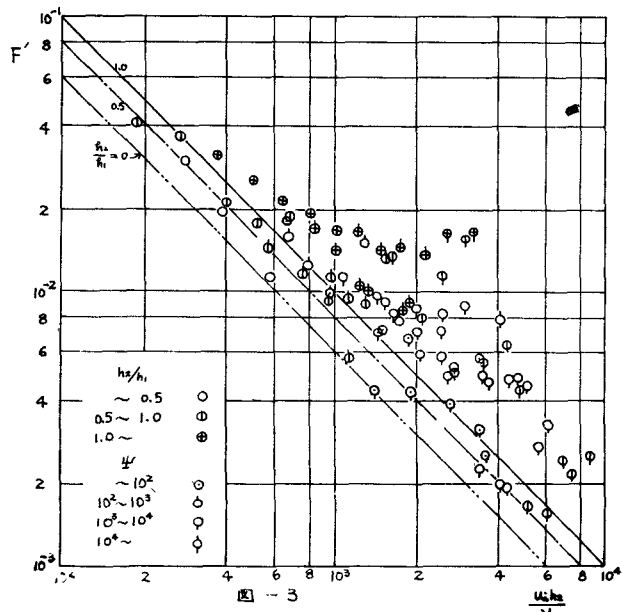


図-3

図-4

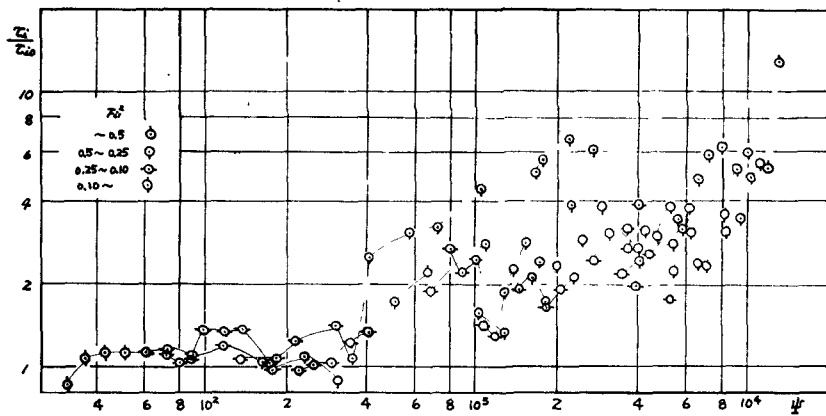


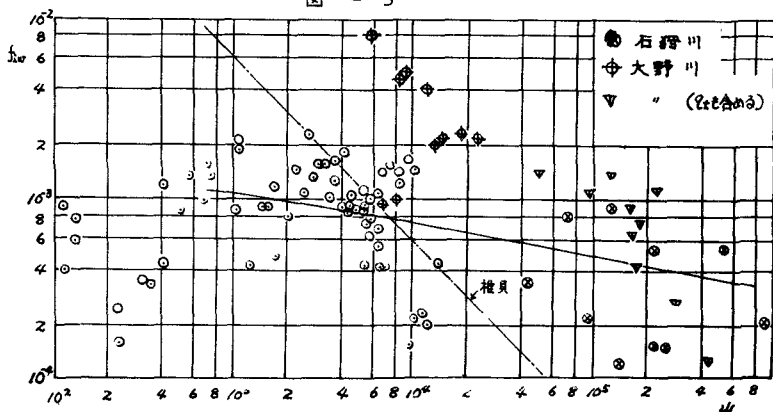
図-4である。これらの図から

- (1) 坐が400附近以下では η/η_0 は η_0 にほど等しい。すなわち境界面は純粹な摩擦抵抗のみが作用している。
- (2) Keulegan によると内部波の碎波による下層塩分のまき上げ開始時の坐は370程度であるが、この値は η/η_0 の値が増加し始める境界とほゞ一致している。
- (3) 坐がほど400を越えれば η/η_0 の値は坐と共に増大する。これは坐の発達と共に内部波が発生、発達し、これとともに造波抵抗が増大し、さらに内部波の碎波による上下両層間の混合現象に基づくかけ上の摩擦抵抗が附加されるためと思われる。一つの様についての η/η_0 の値は河口附近が最大で上流に行くに従つて相対的に減少する。

[3] 造波抵抗

成層密度流から混合型密度流に移行する過程で境界面に内部波が発生する。塗水模の場合、境界面附近的密度勾配が大きいため内部波の発生によるエネルギー散逸は境界面附近に集中すると考えられる。

図-5



内部波の造波抵抗を $f_{sw} = f_w D^2$ で定義し D' から層流粘性による境界面及び底面の摩擦抵抗を除いた値すなむち

$$f_{sw} = \frac{1}{(1 + \frac{f_w}{\nu})} \left(\frac{u_*}{D} \right)^2 \left[F' - (6 + 4 \frac{f_w}{\nu}) \left(\frac{u_* f_w}{\nu} \right)^{-1} \right] \quad (5)$$

を坐についてまとめたものが図-5である。この図には大坪他によつて測定された石狩川のデータから計算した抵抗係数及び大野川における測定結果(後述)も記してある。点のばらつきは著しいが内海波の造波抵抗 f_{sw} は坐 = 400 ~ 1,000 の範囲で平均的には 1×10^{-4} 程度から 1×10^{-6} 程度までさかめて少しあるやかに減少する傾向がみられる。点のばらつきの原因は境界面に内部波が発生するため平均的な波の形状を知ることが困難であるとゆう実験的な制約に加えて(5)式において境界面及び底面の全抵抗を考慮した下の値と層流粘性のみの抵抗による $(6 + 4 \frac{f_w}{\nu}) \left(\frac{u_* f_w}{\nu} \right)^{-1}$ の値がほとんじオーダーであることによる。

[4] 塗水楔としての大野川の塗分侵入。

大野川では別にのべたように、下げ潮時には显著な躍層が形成され、特に躍層の位置と幅が連度勾配の大きい位置、幅とほど一一致して、躍層下流速は上流流速にくらべてかなり小さく、オーダーとしては無視出来る程度である。従つて河川流量 Q_0 と下げ潮平均流量 $\frac{2}{3}|Q_{el}|$ に係数をつけた $\frac{2}{3}\epsilon|Q_{el}|$ が躍層上部を流れ下層水はほとんじ静止しているものとする。ただし上層水は淡水ではなくと少しが若干減少するものとして、潮汐について平均した躍層勾配を $\frac{\partial S}{\partial x}$ とすると、塗水楔の式

$$\frac{\partial S}{\partial x} = \frac{\frac{1}{\nu} \frac{(Q_0 + d \frac{2}{3}\epsilon|Q_{el}|)^2}{\epsilon g f_w A_0^2} (1 + \frac{f_w}{\nu})}{1 - \frac{(Q_0 + d \frac{2}{3}\epsilon|Q_{el}|)^2}{\epsilon g f_w A_0^2}}$$

か近似的に成立するであろう。躍層曲線として 1×10^4 PPM の等濃度曲線を用い、 $d = 1.0$ 、 $\epsilon = 0.016$ として S ~ x 曲線より $\frac{\partial S}{\partial x}$ を逆算した結果を図-5 にプロットしてある。なお横軸の坐も Q_0 ではなく $(Q_0 + d \frac{2}{3}\epsilon|Q_{el}|)$ を用いている。オーダーとして同程度であること、河口附近で限界条件 $1 = \frac{(Q_0 + d \frac{2}{3}\epsilon|Q_{el}|)^2}{\epsilon g f_w A_0^2}$ をかなり満足することなどかなり尤もらしい結果が得られる。

しかしながらあまりにも簡単化しきったモデルであり、検討、修正の必要があることは云うまでもない。